



# CaO・2Fe<sub>2</sub>O<sub>3</sub>の安定条件下での 2成分系カルシウムフェライトの生成機構

郭 興敏\*・前田 敬之\*<sup>2</sup>・小野 陽一\*<sup>2</sup>

Formation Mechanism of Binary Calcium Ferrites under Stable Condition of CaO・2Fe<sub>2</sub>O<sub>3</sub>  
Xingmin Guo, Takayuki MAEDA and Yoichi ONO

**Synopsis :** Calcium ferrite is very important for improving the properties of strength and reducibility of sinter. But the formation mechanism of binary calcium ferrite under the stable condition of CaO・2Fe<sub>2</sub>O<sub>3</sub> was not studied sufficiently. Therefore, as fundamental study of calcium ferrite formation, the mechanism of calcium ferrite formation in solid state reactions between CaO and Fe<sub>2</sub>O<sub>3</sub> at 1190°C in air was investigated by using the diffusion-couple method. The results are summarized as follows.

(1) The reaction between CaO and Fe<sub>2</sub>O<sub>3</sub> starts at the CaO/Fe<sub>2</sub>O<sub>3</sub> interface to form CaO・Fe<sub>2</sub>O<sub>3</sub>. After a short initial period, three kinds of calcium ferrites, 2CaO・Fe<sub>2</sub>O<sub>3</sub> (C<sub>2</sub>F), CaO・Fe<sub>2</sub>O<sub>3</sub> (CF), and CaO・2Fe<sub>2</sub>O<sub>3</sub> (CF<sub>2</sub>) grow in that order from CaO layer toward Fe<sub>2</sub>O<sub>3</sub> layer.

(2) The formation rates of C<sub>2</sub>F, CF and CF<sub>2</sub> are controlled by the diffusion of Ca<sup>2+</sup> and Fe<sup>3+</sup> in each layer.

(3) The C<sub>2</sub>F forms at the interfaces of CaO/C<sub>2</sub>F and C<sub>2</sub>F/CF, but the formation rate at the CaO/C<sub>2</sub>F interface is larger than that at the C<sub>2</sub>F/CF interface. The CF forms at the CF/CF<sub>2</sub> interface, and grows toward CF<sub>2</sub> phase except for the beginning of the reaction. The CF<sub>2</sub> forms at the CF<sub>2</sub>/Fe<sub>2</sub>O<sub>3</sub> interface, and grows toward Fe<sub>2</sub>O<sub>3</sub> phase. The thickness of each layer of calcium ferrites increases with the progress of reaction time.

**Key words :** calcium ferrite ; binary system ; formation mechanism ; solid state reaction ; diffusion-couple method.

## 1. 緒言

自溶性ペレットの焼成過程において、鉄鉱石のFe<sub>2</sub>O<sub>3</sub>と添加されたCaOとの間で固相反応によってカルシウムフェライトが生成する。自溶性焼結鉱中においても焼結過程の初期にカルシウムフェライトがごく少量生成するがそれが融液生成の起点として働くことが報告されている<sup>1)</sup>。したがって、CaOとFe<sub>2</sub>O<sub>3</sub>との固相反応によるカルシウムフェライトの生成機構、各種カルシウムフェライトの間の反応機構並びにそれらの速度論を研究することは重要である。CaOとFe<sub>2</sub>O<sub>3</sub>の間の固相反応の機構と速度についての研究はかなり報告されてはいるが<sup>2)~5)</sup>、CaO・2Fe<sub>2</sub>O<sub>3</sub>の安定条件下におけるカルシウムフェライトの生成機構についてはまだ十分ではない。もっとも、実際の工業用ペレットや焼結鉱中のカルシウムフェライトは2成分系ではなく、SiO<sub>2</sub>、Al<sub>2</sub>O<sub>3</sub>などを含んだ多成分系であることは知られているが、2成分系カルシウムフェライトについて研究することは複雑な多成分系カルシウムフェライトに関する研究の基礎として重要なと考えられる。

そこで、本研究ではカルシウムフェライトに関する研究

の一環として、CaO・2Fe<sub>2</sub>O<sub>3</sub>の安定条件下でのCaOとFe<sub>2</sub>O<sub>3</sub>の間の固相反応によるカルシウムフェライトの生成過程を拡散対法を用いて大気中で調べ、その生成機構を明らかにした。

## 2. 実験方法

市販一級試薬のCaOとFe<sub>2</sub>O<sub>3</sub>をそれぞれ1000°C、大気中で1.5h予備焼成した後、ポールミルで15μm以下まで磨碎した粉末を試料作成の原料として使用した。

拡散対を作成するため、先ずFig. 1 (a), (b), (c)に示したようにそれぞれCaO、Fe<sub>2</sub>O<sub>3</sub>及びCaOとFe<sub>2</sub>O<sub>3</sub>をモル比1:1に混合したものをディスクに成型し、1190°Cで大気中それぞれ16h、16h、36h焼成した。ディスク(c)はX線回折により同定し、CaO・Fe<sub>2</sub>O<sub>3</sub>(以下CF)の均一相であることを確認した。さらに、CaO、Fe<sub>2</sub>O<sub>3</sub>及びCFのディスクは温度履歴による収縮変形が起こらなくなるまで実験温度に再加熱、冷却を繰り返した。その後これらの表面を鏡面に磨いた。ここで、焼成したCaOディスクは吸水しやすく、粒子間の結合も弱いため、鏡面加工するときは防水手袋を

平成6年3月2日受付 平成6年10月14日受理 (Received on Mar. 2, 1994; Accepted on Oct. 14, 1994)

\* 九州大学工学部(現:北京科技大学)(Faculty of Engineering, Kyushu University, now University of Science Technology Beijing)

\* 2 九州大学工学部(Faculty of Engineering, Kyushu University, 6-10-1 Hakozaki Higashi-ku Fukuoka 812)

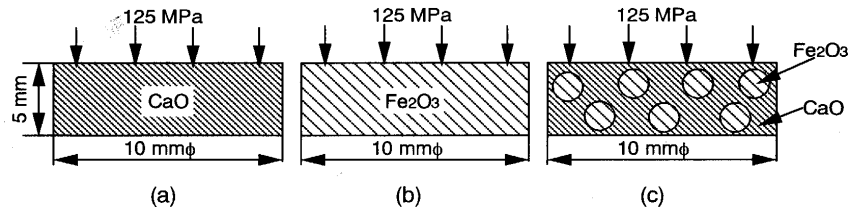


Fig. 1. Schematic diagrams for disk preparation of CaO, Fe<sub>2</sub>O<sub>3</sub>, and CaO·Fe<sub>2</sub>O<sub>3</sub>.

はめて乾式研磨し、さらにArガスで表面の微粉を吹き飛ばしながら清浄な板ガラスの面の上で研磨した。

拡散対の作成法は実験目的によって異なるので、以下各項目ごとに述べる。ただし、CaOとFe<sub>2</sub>O<sub>3</sub>の間の反応に及ぼす温度分布の影響をなるべく小さくするため、拡散対の片方の層となるべく薄くした。

(1) CaOとFe<sub>2</sub>O<sub>3</sub>の反応で生成する初期カルシウムフェライトが何であるかを調べるために、CaOディスクの鏡面に少量のFe<sub>2</sub>O<sub>3</sub>粉末を、Fe<sub>2</sub>O<sub>3</sub>ディスクの鏡面に少量のCaO粉末をそれぞれ置き、大気中で2 min及び16min焼成した。

(2) CaOとCFの反応で生成する生成物とその生成機構を調べるために、予備焼成して鏡面に仕上げたCaOディスク(10mmφ×5mm)とCFディスク(10mmφ×0.3mm)を組み合わせてCaO/CF拡散対を作り、大気中で48h焼成した。

(3) CFとFe<sub>2</sub>O<sub>3</sub>の反応で生成する生成物とその生成機構を調べるために、CFディスク(10mmφ×5mm)の鏡面に125MPaの圧力で30~40μmのFe<sub>2</sub>O<sub>3</sub>粉末層を圧着させ、CF/Fe<sub>2</sub>O<sub>3</sub>拡散対を作り、大気中で1~8h焼成した。

(4) CaOとFe<sub>2</sub>O<sub>3</sub>間におけるカルシウムフェライト各相の生成と成長を調べるために、Fe<sub>2</sub>O<sub>3</sub>ディスク(10mmφ×5mm)の鏡面に125MPaの圧力で30~40μmのCaO粉末層を付けて、CaO/Fe<sub>2</sub>O<sub>3</sub>拡散対を作り、大気中で1~8h焼成した。

実験温度はCaO-Fe<sub>2</sub>O<sub>3</sub>状態図<sup>⑥</sup>により1190°Cを選択した。この温度では融液が生成せず、さらにCaO·2Fe<sub>2</sub>O<sub>3</sub>(以下CF<sub>2</sub>)が安定であるためである。

拡散対を電気炉に入れて、1190°C、大気中で所定の時間保持して反応を行わせた後、炉外に取り出して空冷した。試料は冷却後、樹脂に埋め込み、拡散方向と平行な断面を研磨し、顕微鏡による組織観察及び場合によってはEPMAによる定量分析を行った。

CaO/Fe<sub>2</sub>O<sub>3</sub>拡散対についてはその断面写真の上で拡散方向と垂直な方向を等距離分割し、分割点毎に拡散方向に沿って各生成層の厚みを測定し、その平均値を取った。なお分割点は25点以上とした。

CFとCF<sub>2</sub>とは反射光では区別できないので、顕微鏡観察の前に試料の腐食を行った。腐食は46%HF水溶液を用いて20°C、5 minの条件で行った。CF<sub>2</sub>と2CaO·Fe<sub>2</sub>O<sub>3</sub>(以下C<sub>2</sub>F)は腐食されるが、CFとFe<sub>2</sub>O<sub>3</sub>は腐食されないので、顕微鏡下で4つの相を区別できた。

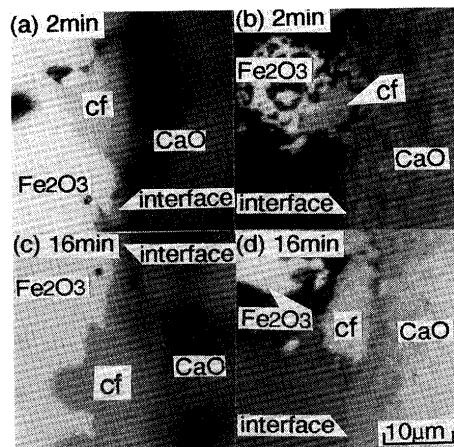
### 3. 実験結果並びに考察

#### 3.1 CaOとFe<sub>2</sub>O<sub>3</sub>間における初期カルシウムフェライトの生成

焼成試料の断面写真をFig. 2に示す。これによると、CaOとFe<sub>2</sub>O<sub>3</sub>が接触していない部分はそのまま鏡面を保っているが、CaOとFe<sub>2</sub>O<sub>3</sub>が接触していた相界面ではカルシウムフェライトが生成し、その生成層は左右両側へ成長している。もっとも、予備焼成された密度の大きい側((a), (c)ではFe<sub>2</sub>O<sub>3</sub>, (b), (d)ではCaO)への成長速度の方が大きい。なお、Fig. 2においてcfはカルシウムフェライトの総称で、実際はFig. 3に示すように、反応時間に応じて、3種類のカルシウムフェライトのうち1種あるいは全てが含まれている。

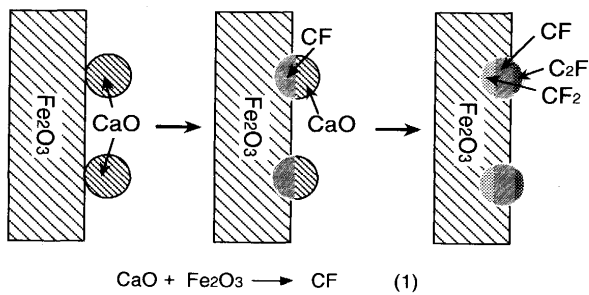
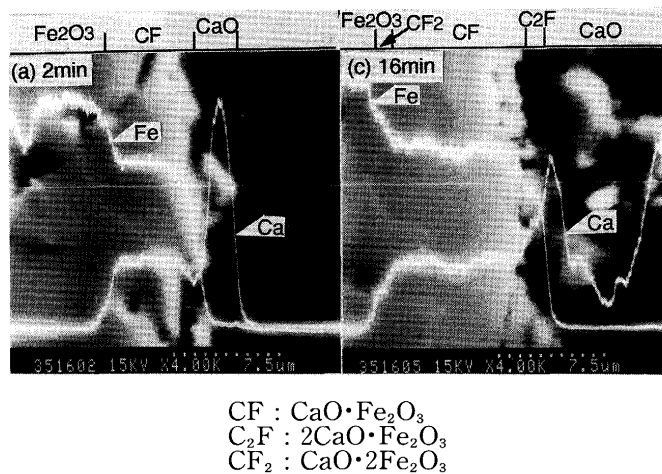
Fig. 2に示した試料の断面のEPMAによる分析を行った。Fig. 3に示すEPMAによる線分析と定量分析の結果から、反応時間2 minではCFが、16minではさらにC<sub>2</sub>FとCF<sub>2</sub>が生成していた。

以上の結果をもとに、初期カルシウムフェライトの生成過程を模式的に図示するとFig. 4のようになる。すなわちCaOとFe<sub>2</sub>O<sub>3</sub>の界面で、先ず反応(1)によってCFが生成し、



cf : Calcium ferrites  
(a),(c) : CaO powder on Fe<sub>2</sub>O<sub>3</sub> disk  
(b),(d) : Fe<sub>2</sub>O<sub>3</sub> powder on CaO disk

Fig. 2. Microstructures of initial product layers of calcium ferrites formed between CaO and Fe<sub>2</sub>O<sub>3</sub> at 1190°C.



CFの生成開始後、CaO/CF界面で $\text{C}_2\text{F}$ が、CF/ $\text{Fe}_2\text{O}_3$ 界面で $\text{CF}_2$ が生成したものと考えられる。

### 3・2 CaOとCF間ににおける $\text{C}_2\text{F}$ の生成と成長

焼成したCaO/CF拡散対の断面組織をFig. 5に示す。CaO相とCF相の間に $\text{C}_2\text{F}$ 層が生成し、その厚みは一様で、CaO/C<sub>2</sub>F界面とC<sub>2</sub>F/CF界面はともに平面状を呈している。なお、Fig. 5において、C<sub>2</sub>FとCaOの間に存在するのは埋め込み用の樹脂で、これは試料の冷却時にC<sub>2</sub>FとCaOの収縮率の違いによる剥離が起きたためであると考えられる。

この実験結果をもとに、 $\text{Fe}_2\text{O}_3$ 層が存在しない場合のCaOとCF間ににおける $\text{C}_2\text{F}$ の生成と成長を模式的に図示するとFig. 6のようになる。すなわちCaO相とCF相の界面で、先ず(2)の反応により $\text{C}_2\text{F}$ が生成し、



その後はCaO層における $\text{Ca}^{2+}$ とCF層における $\text{Fe}^{3+}$ がそれぞれ $\text{C}_2\text{F}$ 層内を拡散してCF/C<sub>2</sub>FとC<sub>2</sub>F/CaO界面に到り、そこで反応(2')と(2'')によって $\text{C}_2\text{F}$ を生成する。

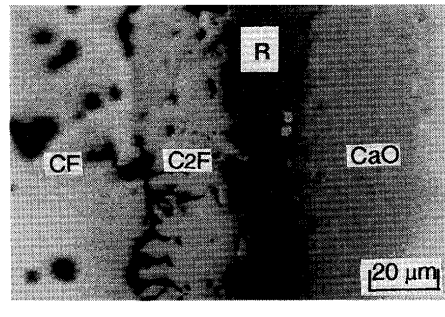


Fig. 5. Microstructure of  $\text{C}_2\text{F}$  layer formed in CaO/CF couple at 1190°C.

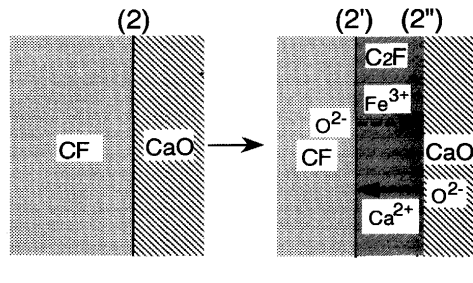


Fig. 6. Schematic diagram of formation and growth process of  $\text{C}_2\text{F}$  in CaO/CF couple at 1190°C.

ここで、(2')(2'')による $\text{C}_2\text{F}$ の生成速度をそれぞれ $r_{2'}$ 、 $r_{2''}$ とすると、電気的中性の条件より $r_{2'} > r_{2''}$ となる。すなわち、 $\text{C}_2\text{F}$ 層はCaO層側よりCF層側への生成速度の方が大きくなるものと考えられる。

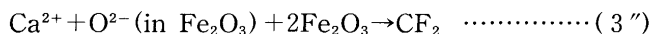
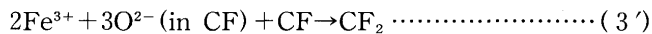
### 3・3 CFと $\text{Fe}_2\text{O}_3$ 間ににおける $\text{CF}_2$ の生成と成長

焼成したCF/ $\text{Fe}_2\text{O}_3$ 拡散対の断面組織をFig. 7に示す。これによると、CF相と $\text{Fe}_2\text{O}_3$ 相の間に $\text{CF}_2$ 層が生成し、その生成層は反応時間の増加に伴って厚くなり、厚みも比較的一様になっている。

この実験結果をもとに、CaO層が存在しない場合のCFと $\text{Fe}_2\text{O}_3$ 間ににおける $\text{CF}_2$ の生成と成長過程を図示するとFig. 8のようになる。すなわち、先ずCF相と $\text{Fe}_2\text{O}_3$ 相の界面で反応(3)によって $\text{CF}_2$ が生成し、



その後は $\text{Fe}_2\text{O}_3$ 層における $\text{Fe}^{3+}$ とCF層における $\text{Ca}^{2+}$ がそれぞれ $\text{CF}_2$ 層内を拡散してCF/ $\text{CF}_2$ と $\text{Fe}_2\text{O}_3/\text{CF}_2$ 界面に到り、そこで反応(3')と(3'')によって $\text{CF}_2$ を生成する。



ここで、(3')(3'')による $\text{CF}_2$ の生成速度をそれぞれ $r_{3'}$ 、 $r_{3''}$ とすると、電気的中性の条件より $r_{3''} > r_{3'}$ となる。すなわち、

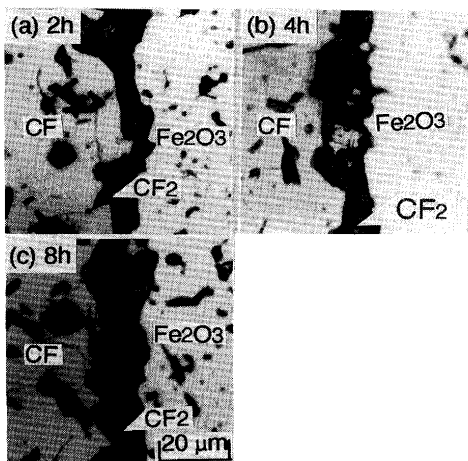


Fig. 7. Microstructures of  $\text{CF}_2$  layer formed in  $\text{CF}/\text{Fe}_2\text{O}_3$  couple at  $1190^\circ\text{C}$ .

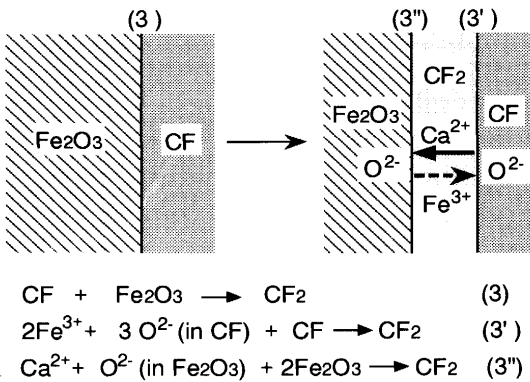


Fig. 8. Schematic diagram of formation and growth process of  $\text{CF}_2$  in  $\text{CF}/\text{Fe}_2\text{O}_3$  couple at  $1190^\circ\text{C}$ .

$\text{CF}_2$ 層はCF層側より $\text{Fe}_2\text{O}_3$ 層側への生成速度の方が大きくなるものと考えられる。

### 3・4 CaOと $\text{Fe}_2\text{O}_3$ 間におけるカルシウムフェライト各相の生成と成長

焼成後の $\text{CaO}/\text{Fe}_2\text{O}_3$ 拡散対の断面組織をFig. 9に示す。これによると、 $\text{CaO}$ 相から $\text{Fe}_2\text{O}_3$ 相に向けて $\text{C}_2\text{F}$ 、 $\text{CF}$ 、 $\text{CF}_2$ がこの順序で生成しており、 $\text{CaO}/\text{C}_2\text{F}/\text{CF}/\text{CF}_2/\text{Fe}_2\text{O}_3$ 拡散対が形成された。

Fig. 9によると、 $\text{C}_2\text{F}$ 層の厚みは一様で、 $\text{CaO}/\text{C}_2\text{F}$ 界面と $\text{CF}/\text{C}_2\text{F}$ 界面はともに平面状を呈しており、§3・2で述べた $\text{CaO}/\text{CF}$ 拡散対の実験結果(Fig. 5)と一致している。一方、 $\text{CF}_2$ 層の厚みは§3・3で述べた $\text{CF}/\text{Fe}_2\text{O}_3$ 拡散対の実験結果(Fig. 7)とは異なって一様ではなく、 $\text{CF}/\text{CF}_2$ 界面及び $\text{CF}_2/\text{Fe}_2\text{O}_3$ 界面は曲面状を呈している。しかも、 $\text{CF}_2$ 層の厚みはCF層の厚みと関係があるようである。すなわち、CF層が薄いところでは $\text{CF}_2$ 層は厚く成長しているが、CF層が厚いところでは $\text{CF}_2$ 層は薄くなっている。

以上の実験結果をもとに、 $\text{CaO}$ と $\text{Fe}_2\text{O}_3$ 間におけるカルシウムフェライト各相の生成と成長過程を模式的に図示するとFig.10のようになる。この図をもとに、カルシウムフェラ

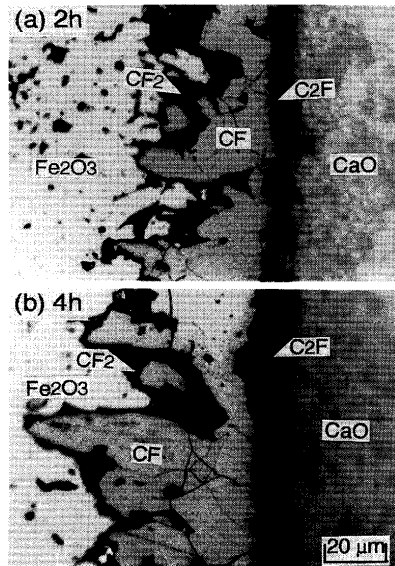


Fig. 9. Microstructures of calcium ferrites formed in  $\text{CaO}/\text{Fe}_2\text{O}_3$  couple at  $1190^\circ\text{C}$ .

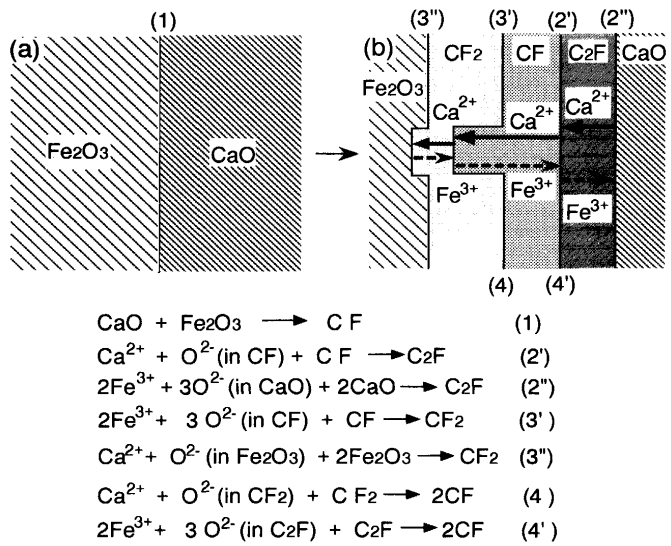
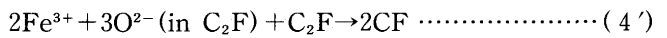
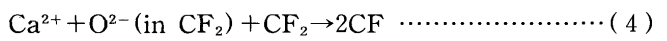


Fig. 10. Schematic diagram of formation and growth process of calcium ferrites in  $\text{CaO}/\text{Fe}_2\text{O}_3$  couple at  $1190^\circ\text{C}$ .

イト各相の生成、成長過程は次のようにして説明できる。  
CF層は§3・1で述べたように、反応初期には(1)によって $\text{CaO}$ と $\text{Fe}_2\text{O}_3$ の直接反応によって生成し、その後、§3・2と§3・3で述べたように $\text{C}_2\text{F}$ 層と $\text{CF}_2$ 層は生成するがFig.10(b)に示すように、 $\text{Fe}^{3+}$ と $\text{Ca}^{2+}$ がそれぞれ各層内を拡散して $\text{Fe}_2\text{O}_3/\text{CF}_2$ 、 $\text{CF}_2/\text{CF}$ 、 $\text{CF}/\text{C}_2\text{F}$ と $\text{C}_2\text{F}/\text{CaO}$ 界面に達する。その後各界面で、次の反応が生じるものと考えられる。すなわち $\text{Fe}_2\text{O}_3/\text{CF}_2$ 界面で反応(3'')が、 $\text{CF}_2/\text{CF}$ 界面で反応(4)と(3')が、 $\text{CF}/\text{C}_2\text{F}$ 界面で反応(4')と(2')が、 $\text{C}_2\text{F}/\text{CaO}$ 界面で反応(2'')が生じる。



ここで、(4)(4')によるCFの生成速度をそれぞれ $r_4$ ,  $r_{4'}$ とすると、電気的中性の条件より $r_4 > r_{4'}$ となる。すなわち、CF層はCaO層側より $CF_2$ 層側への生成速度の方が大きくなるものと考えられる。

Sandwijkら<sup>5)</sup>はCaO/Fe<sub>2</sub>O<sub>3</sub>拡散対について1004~1142°Cで同様の実験を行い、C<sub>2</sub>F層の厚みは一様であるが、CF層の厚みは場所により大きく変化し、CF/Fe<sub>2</sub>O<sub>3</sub>界面は舌状の曲面になることを見いたした。なお、上記の温度範囲では $CF_2$ は生成しない。Sandwijkらはこの現象をCF結晶中の拡散速度の異方性を仮定して説明している。この考え方をここでも採用するとCF/CF<sub>2</sub>界面では(4)によるCFの生成( $CF_2 \rightarrow CF$ )と(3')によるCFの消滅( $CF \rightarrow CF_2$ )が同時に起こっていることよりCF層におけるCa<sup>2+</sup>の拡散が速い場所ではCF層が厚く、 $CF_2$ 層が薄くなり、この界面は曲面になるものと考えられる。ところで、この現象を確認するためには、今後CFの単結晶を作製し、結晶面の違いによるCFの成長の異方性、すなわちCF結晶中のCaの拡散速度の違いを検証していく必要がある。

Fig.11に実験により得られた各生成層の厚みの時間的变化を示す。各層の厚みはいずれも反応時間の経過に伴って厚くなっています。しかも層厚の2乗と反応時間との間には直線関係がある。したがって各層の成長過程は拡散律速であると言える。さらに、直線の時間軸切片よりC<sub>2</sub>F層とCF<sub>2</sub>層はCF層より遅れて生成することがわかる。また、各層の成長速度はCF層が最も速く、 $CF_2$ , C<sub>2</sub>F層の順に遅くなっている。

ところで、Fig.11の直線関係、 $X_i^2 = k_i t$ 、より

$$k_{C_2F} = 0.25 \times 10^{-10} m^2 \cdot h^{-1}$$

$$k_{CF} = 2.8 \times 10^{-10} m^2 \cdot h^{-1}$$

$$k_{CF_2} = 0.70 \times 10^{-10} m^2 \cdot h^{-1}$$

が得られる。さらに、各相の生成速度( $r_i$ )は式(5)で与えられる。

$$r_i = (\rho_i / M_i) dX_i / dt = (\rho_i k_i^{1/2} / 2M_i) \cdot t^{-1/2} [\text{mol} \cdot m^{-2} \cdot h^{-1}] \quad \dots \dots \dots (5)$$

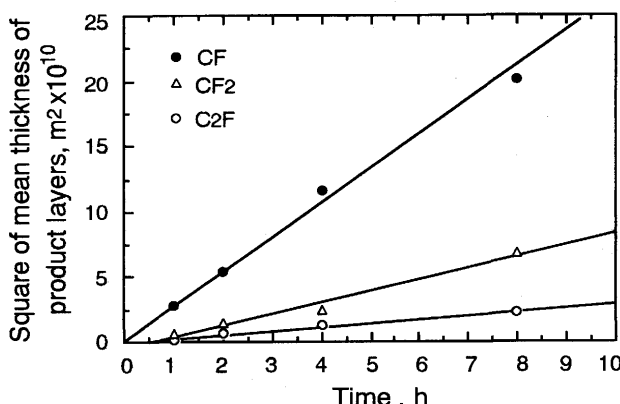


Fig. 11. Time dependence of mean thickness of product layers formed in CaO/Fe<sub>2</sub>O<sub>3</sub> couple at 1190°C.

ここで  $t$  : 反応時間(h)

$X_i$  : 生成層の厚さ(m)

$\rho_i$  : カルシウムフェライトの密度(kg/m<sup>3</sup>)

$M_i$  : カルシウムフェライトのモル質量(kg/mol)

$\rho_{C_2F}$ ,  $\rho_{CF}$  と  $\rho_{CF_2}$  の値はそれぞれ  $4.475 \times 10^{-3}$ ,  $4.759 \times 10^{-3}$ ,  $4.948 \times 10^{-3}$  である<sup>7)8)</sup>ので各層の生成速度は

$$r_{C_2F} = 4.12 \times 10^{-2} t^{-1/2}$$

$$r_{CF} = 18.56 \times 10^{-2} t^{-1/2}$$

$$r_{CF_2} = 5.54 \times 10^{-2} t^{-1/2}$$

となる。

また各層の生成速度はそれぞれ

$$r_{C_2F} = r_{2'} + r_{2''} - r_{4'}$$

$$r_{CF} = r_4 + r_{4'} - r_{2'} - r_{3'}$$

$$r_{CF_2} = r_{3'} + r_{3''} - r_4$$

で表される。さらに各層での電気的中性の条件より、各界面でのC<sub>2</sub>Fの生成速度 $r_{2'}$ と $r_{2''}$ 、CFの生成速度 $r_4$ と $r_{4'}$ 及び $CF_2$ の生成速度 $r_{3'}$ と $r_{3''}$ について次の関係が成り立つ。

$$r_{2'} = 3r_{2''}, \quad r_4 = 3r_{4'}, \quad r_{3''} = 3r_{3'}$$

以上の関係をもとに各反応におけるカルシウムフェライトの生成速度を求める以下のようになる。

$$r_{2'} = 9.99 \times 10^{-2} t^{-1/2}, \quad r_{2''} = 3.33 \times 10^{-2} t^{-1/2}$$

$$r_{3'} = 8.31 \times 10^{-2} t^{-1/2}, \quad r_{3''} = 24.92 \times 10^{-2} t^{-1/2}$$

$$r_4 = 27.63 \times 10^{-2} t^{-1/2}, \quad r_{4'} = 9.21 \times 10^{-2} t^{-1/2}$$

C<sub>2</sub>FはCaO/C<sub>2</sub>F界面とC<sub>2</sub>F/CF界面の両界面でそれぞれ $r_{2'}$ 及び $r_{2'} - r_{4'}$ なる速度で生成する。各生成速度は

$$r_{2''} = 3.33 \times 10^{-2} t^{-1/2}$$

$$r_{2'} - r_{4'} = 0.78 \times 10^{-2} t^{-1/2}$$

となり、 $r_{2''} > r_{2'} - r_{4'}$ であるのでCaO相側への成長速度の方が大きい。

CFはC<sub>2</sub>F/CF界面とCF/CF<sub>2</sub>界面の両界面でそれぞれ $r_{4'} - r_{2'}$ 及び $r_4 - r_{3'}$ なる速度で生成する。各生成速度は

$$r_{4'} - r_{2'} = -0.78 \times 10^{-2} t^{-1/2}$$

$$r_4 - r_{3'} = 19.32 \times 10^{-2} t^{-1/2}$$

となり、CFはC<sub>2</sub>F/CF界面では消費される(C<sub>2</sub>Fになる)がCF/CF<sub>2</sub>界面で生成し、CF<sub>2</sub>相側へ成長する。

CF<sub>2</sub>はCF/CF<sub>2</sub>界面とCF<sub>2</sub>/Fe<sub>2</sub>O<sub>3</sub>界面の両界面でそれぞれ $r_{3'} - r_4$ 及び $r_{3''}$ なる速度で生成する。各生成速度は

$$r_{3'} - r_4 = -19.32 \times 10^{-2} t^{-1/2}$$

$$r_{3''} = 24.92 \times 10^{-2} t^{-1/2}$$

となり、CF/CF<sub>2</sub>界面では消費される(CFになる)がCF<sub>2</sub>/Fe<sub>2</sub>O<sub>3</sub>界面で生成し、Fe<sub>2</sub>O<sub>3</sub>相側へ成長する。

さらに、C<sub>2</sub>F層のCaO相側への成長速度に比べてCF<sub>2</sub>層のFe<sub>2</sub>O<sub>3</sub>相側への成長速度が大きいことよりカルシウムフェライトは主にFe<sub>2</sub>O<sub>3</sub>相側へ成長することがわかる。

なお、以上の説明では、O<sup>2-</sup>イオンの直径が大きいので拡散しにくくなると仮定し、Ca<sup>2+</sup>やFe<sup>3+</sup>が拡散すると述べたが、さらに電子eもCa<sup>2+</sup>やFe<sup>3+</sup>に伴ってカルシウムフェライト結晶の空孔中を拡散するものと考えられる<sup>9)</sup>。

## 4. 結論

拡散対法を使ってCaOとFe<sub>2</sub>O<sub>3</sub>の間の固相反応によるカルシウムフェライトの生成機構を1190°C、大気中で検討し、以下の結論を得た。

(1) CaOとFe<sub>2</sub>O<sub>3</sub>の間の反応による初期カルシウムフェライトの生成物はCFである。このCFの生成後、C<sub>2</sub>F、CF、CF<sub>2</sub>がCaO層からFe<sub>2</sub>O<sub>3</sub>層へ向けてこの順序で生成する。

(2) C<sub>2</sub>F、CF及びCF<sub>2</sub>の成長過程はそれぞれの層内のCa<sup>2+</sup>とFe<sup>3+</sup>の拡散が律速である。

(3) C<sub>2</sub>F、CF、CF<sub>2</sub>の各層の厚みはいずれも反応時間の経過に伴って増加するが、CF層の生成速度が最も大きく、CF<sub>2</sub>層、C<sub>2</sub>F層がそれに続く。

(4) C<sub>2</sub>FはCaO/C<sub>2</sub>FとC<sub>2</sub>F/CFの両界面で生成するが、CaO/C<sub>2</sub>F界面におけるCaOとFe<sub>2</sub>O<sub>3</sub>の反応によるCaO相側への成長速度の方が大きい。CFは最初はCaOとFe<sub>2</sub>O<sub>3</sub>の反応により生成するが、その後はCF/CF<sub>2</sub>界面でCaOとCF<sub>2</sub>の反応により生成し、CF<sub>2</sub>側へ成長する。CF<sub>2</sub>はCF<sub>2</sub>/Fe<sub>2</sub>O<sub>3</sub>界面でCaOとFe<sub>2</sub>O<sub>3</sub>の反応により生成し、Fe<sub>2</sub>O<sub>3</sub>側へ成長する。さらに、C<sub>2</sub>F層のCaO相側への成長速度に比べてCF<sub>2</sub>層のFe<sub>2</sub>O<sub>3</sub>相側への成長速度が大きいためカルシウムフェライト層は主にFe<sub>2</sub>O<sub>3</sub>相側へ成長する。

## 文 献

- 1) 肥田行博、岡崎潤、伊藤薰、佐々木稔：鉄と鋼、73(1987), p.1893
- 2) 高木清一、平尾次郎、田中靖久：鉄と鋼、54(1968), p.1217
- 3) E.L-Geassy, A.A.,Shehata and K.A.,Ezz, S.Y : Iron and Steel Int., 49 (1976), p.427
- 4) Schneider, A. and Koch, K. : Arch. Eisenhüttenwes., 49 (1978), p.469
- 5) A.van Sandwijk and K.Koopmans : Science of Ceramics, 10 (1979), p.403
- 6) B.Phillips and A.Muan : J. Am. Ceram. Soc., 41 (1958), p.445
- 7) 小島鴻次郎、永野恭一、稻角忠弘、高木勝博、品田功一：鉄と鋼, 55(1969), p.669
- 8) 今田芳郎：九州大学卒業論文(1984)
- 9) L. von Bogdandy and H.-J.Engell : 鉄鉱石の還元(森山昭、森滋勝、荒木和男共訳), (1975), p.149 [養賢堂]